

# ساخت و بررسی خواص سیمان کلسیم فسفاتی حاوی داروی جنتامایسین سولفات

معصومه حق بین نظر پاک<sup>iv</sup>؛ مهران صولتی هشجین<sup>ii</sup>؛ فتح ا... مضطربزاده<sup>iii</sup> و علیرضا میرحبیبی<sup>iv</sup>

## چکیده

امروزه سیمان‌های کلسیم‌فسفاتی به طور گسترش‌های در ترمیم نقاچیص استخوانی و دندانی به کار می‌روند. این سیمان‌ها خواص زیست‌سازگاری عالی و هدایت رشد استخوان دارند. در این تحقیق، سیمان کلسیم‌فسفاتی از مخلوط کردن جزء پودری  $\text{Na}_2\text{SO}_4$  و  $\text{MCPM}$ ،  $\beta$ -TCP و جزء مایع  $\text{Na}_2\text{HPO}_4$  با نسبت مناسب تهیه شد. زمان گیرش اولیه برابر با ۷ دقیقه و گیرش نهایی ۲۰ دقیقه بود. استحکام فشاری نمونه‌ها نیز در زمان‌های مختلف قرارگیری در انکوباتور اندازه‌گیری شد. سپس داروی جنتامایسین سولفات با غلظت ۸۰mg/2ml به نسبت ۱ به ۶ به جزء مایع افزوده شد. ریزساختار ماده در سطح شکست نمونه‌ها با میکروسکوپ الکترونی روبشی (SEM) مطالعه شد. مقدار داروی رها شده در محلول رینگر در زمان‌های مختلف اندازه گیری شد. بررسی‌ها نشان داد که میزان رهایش دارو در روز پانزدهم به مقدار بیشینه ۳۵ درصد مقدار اولیه رسیده است.

## کلمات کلیدی

سیمان کلسیم فسفات، جنتامایسین سولفات، رهایش دارو

## *Preparation and Analysis of the Properties of Calcium Phosphate Cement Loaded with Gentamycine Sulfate Drug*

M. Haghbin Nazarpak ; M. Solati; F. Moztarzadeh; A.R. Mirhabibi.

### ABSTRACT

Calcium Phosphate Cements are widely used in repairing bone and dental defects recently. These cements exhibit excellent biocompatibility and osteoconductivity. In this research, Calcium Phosphate Cements are prepared with the ratio of  $l/p=0.4$  by mixing powder components consists of  $\text{Na}_2\text{SO}_4$ ,  $\beta$ -TCP, MCPM and liquid component  $\text{Na}_2\text{HPO}_4$  (4 weight percent concentration). The initial setting time was equal to 7 minutes and the final setting time is 20 minutes. The compressive strength of samples is measured in different times of incubation. Then, the gentamycine sulfate drug is added to liquid component with concentration of 80mg/2ml in ratio of 1/6. The results imply that the initial and final setting time of samples are decreased to 5 and 15 minutes, respectively due to the presence of sulfate ion in the drug. However, compressive strength of samples increased after drug addition. Microstructure of the fracture surface is studied with scanning electron microscope (SEM). The amount of the drug released in ringer solution is measured within different incubation times. The analysis revealed the fact that the amount of the drug release reached its maximum value in 15<sup>th</sup> day that is 35% of its primary value.

<sup>i</sup> دانشگاه صنعتی امیرکبیر، دانشکده مهندسی پزشکی: mhaghbinn@cic.aut.ac.ir

<sup>ii</sup> دانشگاه صنعتی امیرکبیر، دانشکده مهندسی پزشکی

<sup>iii</sup> دانشگاه صنعتی امیرکبیر، دانشکده مهندسی پزشکی

<sup>iv</sup> دانشگاه علم و صنعت ایران، دانشکده مهندسی مواد و متالورژی

## KEYWORDS

Calcium Phosphate Cement, Gentamycin Sulfate, Drug release

## ۱- مقدمه

هیدروکسی آپاتیت دارای نقص کمبود کلسیم، پراشیتی و کلسیم فسفات آمورف [۳].

در درمان‌های کلینیکی، اگر ناحیه تحت عمل جراحی دچار عفونت شود، تاثیر درمان کاهش می‌یابد؛ از این‌رو، تحقیقات به سوی استفاده از داروهای مقاوم به عفونت در سیمان و رهایش کنترل شده دارو به منظور افزایش اثر درمان و کاهش اثرات جانبی دارو سوق پیدا کرده است. این روش برای درمان تومورها، پوکی استخوان و نظایر آن؛ که به طور معمول نیاز به درمان‌های طولانی و دردناک دارند، راه حل مناسب و مؤثری است [۱۰، ۱۱].

## ۲- روش تحقیق

### ۲-۱- مواد و روش‌ها

بخش پودری سیمان شامل بتا-تری‌کلسیم‌فسفات ( $\beta$ -TCP)، منوکلسیم‌فسفات‌منوهیدرات (MCPM) و سولفات‌سیدیم است. پودر  $\beta$ -TCP از ترکیب یک مول دی کلسیم فسفات دی هیدرات و یک مول کربنات کلسیم تهیه شد که با آب مقطر به مدت ۲ ساعت بالمیل شدند تا توزیع ذرات یکنواختی به دست آید؛ سپس به مدت ۲ ساعت تademای  $C^{\circ}$  ۱۰۰ حرارت داده شدند و تademای  $C^{\circ}$  ۹۰ در بوته آلومینایی با آهنگ min گرمایش  $C^{\circ}$  ۱۰. حرارت داده شدند و به مدت ۲ ساعت در این دما ماندند و سپس به آن اجازه دادیم تا به دمای اتاق برسد [۱۲] سپس همراه با منوکلسیم‌فسفات‌منوهیدرات (Fluka 21053) و سولفات‌سیدیم (Merck No.1.0664) به ترتیب با درصد های وزنی  $۷/۴$ ،  $۷/۸$ ،  $۲۰/۸۹$  و  $۷/۰$  با جزء مایع ( $Na_2HPO_4$ ) استفاده شد. دارویی مورد استفاده، آنتی‌بیوتیک جنتامایسین‌سولفات به نام تجاری "جنتامایسین ۸۰" به صورت آمپول ۲ میلی‌لیتری (داروسازی اکسیر) بود.

### ۲-۲- تهیه سیمان

ابتدا جزء پودری به مدت یک ساعت در ظرف پلی‌اتیلن در آسیاب ماهواره‌ای قرار داده شد تا پودری همگن به دست آید. سپس مقدار معینی پودر و مایع با نسبت مایع به پودر برابر با  $۴/۰$  در یک ظرف شیشه‌ای با یکدیگر مخلوط شد. به منظور اطمینان از تهیه سیمان یکنواخت، خمیر سیمان با اسپاچول ورز داده شد.

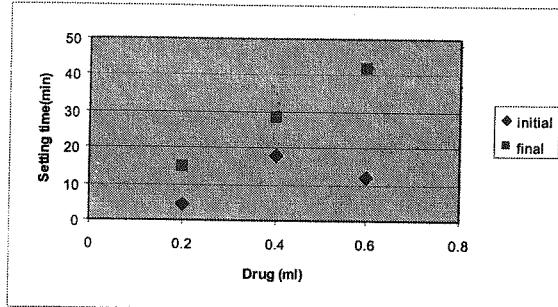
اندازه‌گیری زمان گیرش به وسیله سوزن گیلمور طبق استاندارد ASTM C266 [۱۳] انجام شد. برای گیرش اولیه از

تحقیقات برای یافتن ماده‌ای مناسب برای ترمیم یا جانشینی استخوان آسیب دیده بدن انسان بیش از یک قرن سابقه دارد؛ اما هنوز هم استخوان خود بیمار مناسب‌ترین ماده برای پیوند به شمار می‌رود. با این وجود، ضمن داشتن محدودیت‌هایی نظیر کمبود ذخیره پیوند استخوانی (به ویژه در کودکان) به جراحی ثانویه (در مکان برداشت پیوند) نیاز دارد [۱، ۲]. پیوند از شخص دیگر نیز خطر بزرگ انتقال بیماری‌هایی نظیر هپاتیت و HIV را در بر دارد؛ از این‌رو، به منظور حذف این مشکلات، تلاش‌ها به سمت یافتن ماده جایگزین مناسب استخوان معطوف شد [۱].

مواد مختلفی، به ویژه سرامیک‌ها، برای درمان نقصان استخوانی استفاده شده‌اند که از آن جمله می‌توان به سرامیک‌های کلسیم‌فسفاتی شامل هیدروکسی‌آپاتیت، تری‌کلسیم‌فسفات‌ها کامپوزیت‌های آنها اشاره کرد. این ترکیبات دارای ویژگی تشویق رشد استخوان عالی، زیست‌سازگاری بسیار مناسب، غیرسرطان‌زاگی و اتصال مستقیم با بافت هستند [۲] و به علت شباهت زیاد با فاز مینرالی استخوان، بیوакتیو بودن و هدایت رشد استخوان، به منظور بازسازی استخوان به کار می‌روند [۴]. این مواد به شکل‌های مختلف مانند ذره یا قطعه متراکم یا متخلخل استفاده می‌شوند. از جمله محدودیت‌های استفاده به صورت قطعه، مشکل جورشدن شکل قطعه با شکل نقص استخوان است. استفاده از ذرات نیز با مشکل مهاجرت دیر یا زود ذرات از مکان ایمپلانت به بافت اطراف مواجه است. در این میان سیمان‌های کلسیم‌فسفاتی یک کشف مهم در جراحی بازسازی نقص استخوانی محسوب می‌شوند [۲، ۵، ۶].

اساس عملکرد سیمان‌های کلسیم‌فسفاتی، واکنش کلسیم‌فسفات‌های اسیدی و بازی در حضور یک فاز مایع است. ترکیب سیمان از دو جزء ضروری مایع و پودر تشکیل می‌شود. جزء پودری، مخلوطی از ذرات کلسیم‌فسفات خشک است و جزء مایع نیز با آب دیوونیزه تولید می‌شود. مخلوط کردن این دو جزء به نسبت مناسب، سبب فوق‌اشباع شدن مایع و تشکیل رسوبی می‌شود که یک جرم خودگیر است. از درهم گیر کردن کریستال‌های رسوب، توده سیمان استحکام می‌یابد. زمان گیرش سیمان را می‌توان با افزودن ترکیبات معین به محیط مایع کنترل کرد [۷-۹] بر اساس محصول نهایی واکنش گیرش، چهار نوع سیمان کلسیم‌فسفاتی وجود دارد: آپاتیتی،

سپس با افزودن حجم‌های مختلف داروی جنتامایسین‌سولفات با نسبت  $1/p = 0.4$  به جزء مایع، جزء پودری و مایع با یکدیگر مخلوط شده و زمان‌های گیرش اولیه و نهایی اندازه‌گیری شد. مشاهده شد که در مقدار  $0.2 \text{ ml}$  دارو، زمان گیرش اولیه  $5$  دقیقه و زمان گیرش نهایی  $15$  دقیقه است. نتایج به دست آمده در شکل (۲) ارائه شده است.



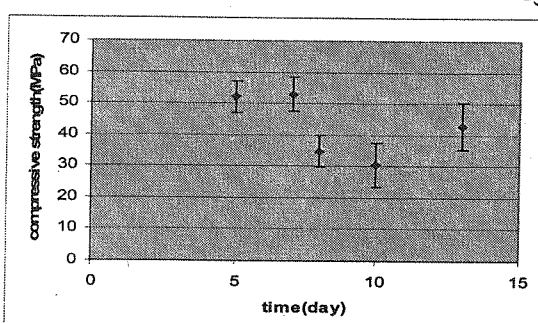
شکل (۲): اندازه گیری زمان گیرش اولیه و نهایی سیمان با افزودن مقادیر مختلف دارو

از مقایسه زمان‌های گیرش قبل و بعد از افزودن دارو می‌توان دریافت که حضور یون سولفات‌در دارو سبب کاهش زمان گیرش سیمان می‌شود و مقدار زمان گیرش را به مقادیر قابل قبول برای کاربردهای کلینیکی تزدیک می‌سازد.

### ۲-۳-۲-استحکام فشاری

از میان خواص مکانیکی مواد پرکننده استخوان، استحکام فشاری بیش از سایر خواص بررسی شده است. مقدار استحکام فشاری سیمان استخوان به عوامل متعددی نظیر اندازه ذرات پودر، مواد افزودنی و نسبت  $1/p$  و غلظت جزء مایع بستگی دارد.

مقدار استحکام فشاری نمونه‌های سیمان فاقد دارو پس از قرارگیری در انکوباتور پس از گذشت  $5$ ،  $10$  و  $13$  روز اندازه گیری شد که نتایج آن در شکل (۳) مشاهده می‌شود. همان‌طور که از داده‌ها برمی‌آید، اعداد حاصل در یک محدوده قرار دارند و با گذشت زمان تغییر قابل توجهی در استحکام مشاهده نمی‌شود.



شکل (۳): استحکام فشاری اندازه گیری شده پس از گذشت روزهای مختلف انکوباسیون

سوزنی به قطر  $0.05 \text{ mm}$  و طول  $5 \text{ mm}$  و وزنه  $112.4 \pm 0.5$  گرمی و برای گیرش نهایی از سوزنی به قطر  $0.05 \text{ mm}$  و طول  $5 \text{ mm}$  و وزنه  $0.5 \pm 0.05$  گرمی استفاده شد.

نمونه‌های استحکام به قطر  $10 \text{ mm}$  و ارتفاع  $12 \text{ mm}$  در قالب فولادی با اعمال فشار  $12 \text{ MPa}$  شکل داده شدند و پس از  $24$  ساعت قرارگیری در انکوباتور (دما  $37^\circ\text{C}$  و رطوبت  $100$  درصد) در محلول رینگر در همین شرایط قرار گرفتند. پس از گذشت زمان‌های مختلف، استحکام فشاری نمونه‌ها با دستگاه Zwick/Roell Universal testing machine با آهنگ اعمال نیروی  $1 \text{ mm/min}$  اندازه گیری شد.

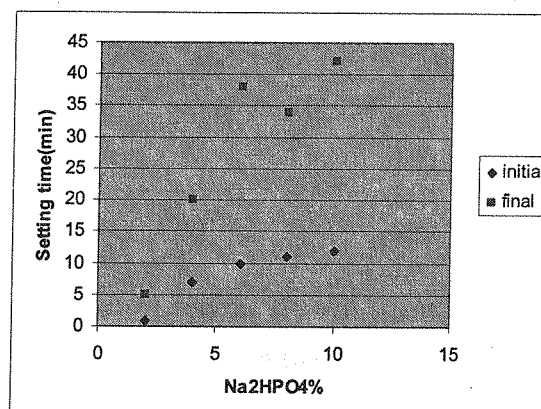
مطالعات آنالیز فازی پراش پرتو ایکس و طیف سنجی مادون قرمز و مشاهده ریز ساختار نیز بر روی نمونه‌ها انجام گرفت.

برای تعیین میزان رهایش دارو، هر یک از نمونه‌های استوانه‌ای در  $25 \text{ ml}$  محلول رینگر در انکوباتور (دما  $37^\circ\text{C}$  و رطوبت  $100$  درصد) قرار گرفتند و پس از گذشت زمان‌های مختلف، مقدار داروی آزاد شده، به وسیله تکنیک کروماتوگرافی باکارایی بالا (HPLC)، با استفاده از روش [۱۴] اندازه گیری شد.

### ۳-۳-نتایج و بررسی

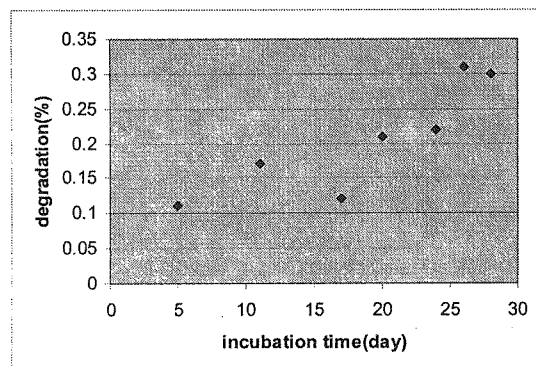
#### ۱-۳-۲-زمان گیرش

مقدار مشخص پودر سیمان با نسبت  $1/p = 0.4$  با جزء مایع  $\text{Na}_2\text{HPO}_4$  در غلظت‌های مختلف در یک ظرف شیشه‌ای مخلوط شد و خمیر سیمان در چهار قالب برنجی مکعبی با اضلاع  $10 \text{ mm}$  قرار داده شد و زمان گیرش اولیه و نهایی با استفاده از سوزن گیلمور تعیین شد. در  $4\% \text{ Na}_2\text{HPO}_4$ ، زمان گیرش اولیه  $7$  دقیقه و گیرش نهایی  $20$  دقیقه به دست آمد که در شکل (۱) ارائه شده است.



شکل (۱): زمان گیرش اولیه و نهایی سیمان در غلظت‌های مختلف جزء مایع

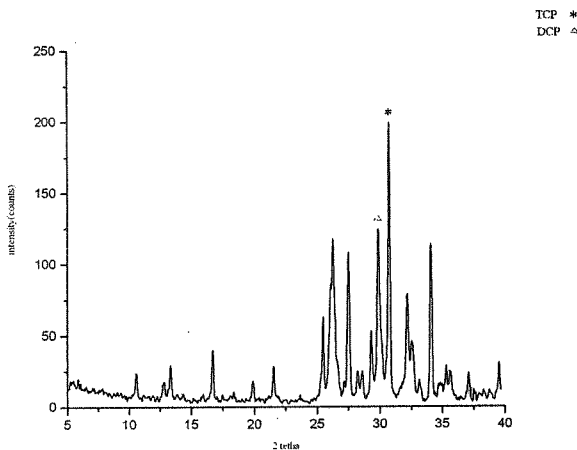
در مرحله بعد مقدار  $2\text{ ml}/0$  دارو به نمونه‌ها افزوده شد و سپس مقدار استحکام فشاری پس از گذشت  $1, 2, 5, 7, 12, 14, 22, 23$  و  $36$  روز اندازه‌گیری شد که نتایج حاصل در شکل (۴) مشاهده می‌شود. همان‌طور که مشاهده می‌شود اعداد به دست آمده در روزهای مختلف تفاوت چندانی ندارند.



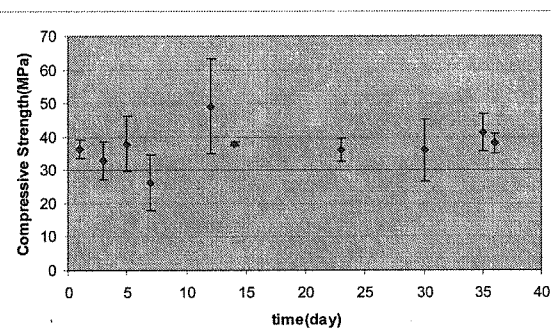
شکل (۴): درصد تخریب نمونه‌ها در زمانهای مختلف انکوباسیون

### ۵-۳-۲ آنالیز فازی

پیک‌های پراش پرتو ایکس نمونه‌ها پس از قرار گیری به مدت‌های  $2, 9, 16$  روز در محلول رینگر بررسی شد. همان‌طور که در شکل‌های (۷) تا (۹) مشاهده می‌شود وجود پیک‌های واضح و بلند  $\beta$ -TCP طبق JCPDS 9-169 در  $d=2.88, 2.61, 3.21, 3.45, 1.73, 1.85$  تایید کننده فاز نهایی تشکیل شده مونتیت +  $\beta$ -TCP می‌باشد. این نتایج با طیف سنجی مادون قرمز نیز بررسی شدند که در شکل (۱۰) ارائه شده است. وجود پیک‌های متعلق به مونتیت شامل پیک مربوط به آب در  $1620\text{ cm}^{-1}$  و پیک مربوط به  $HPO_4^{2-}$  در  $533\text{ cm}^{-1}$  و نیز پیک‌های  $1630\text{ cm}^{-1}$  و  $1600\text{ cm}^{-1}$  مربوط به  $OH^-$  و  $PO_4^{2-}$  در  $962\text{ cm}^{-1}$  و  $635\text{ cm}^{-1}$  و  $605\text{ cm}^{-1}$  و  $575\text{ cm}^{-1}$  وسه گانه خمثی  $PO_4$  در  $665\text{ cm}^{-1}$  تایید کننده این امر است [۱۵].



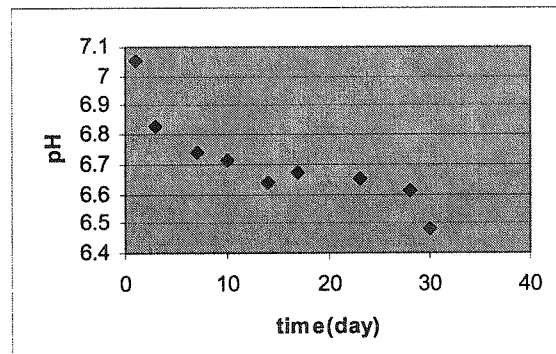
شکل (۷): الگوی پراش پرتو ایکس پس از ۲ روز قرار گیری در محلول رینگر



شکل (۵): استحکام فشاری نمونه‌های حاوی دارو پس از گذشت روزهای مختلف

### ۴-۳-۲ pH تغییر

نمونه‌های استوانه‌ای سیمان در  $25\text{ ml}$  محلول مشابه بدن PBS قرار گرفته و میزان pH آنها پس از زمان‌های مختلف اندازه گیری شد که در شکل (۵) ارائه شده است. کاهش میزان pH تا رسیدن به pH تعادلی با افزایش زمان انکوباسیون مشاهده می‌شود که به علت رهاشدن اسید با پیشرفت واکنش گیرش سیمان است.



شکل (۶): تغییرات pH با افزایش زمان غوطه وری

### ۴-۳-۲ تخریب سیمان

میزان تخریب سیمان در محلول مشابه بدن (PBS) با توزین نمونه‌های استوانه‌ای سیمان در زمان‌های مختلف محاسبه شد. همان‌طور که در شکل (۶) مشاهده می‌شود با افزایش زمان انکوباسیون، میزان تخریب افزایش می‌یابد.

براشیت می‌شود.

وجود محیط غیر اشباع از یون‌های  $\text{Ca}^{2+}$ ,  $\text{HPO}_4^{2-}$  (۳)

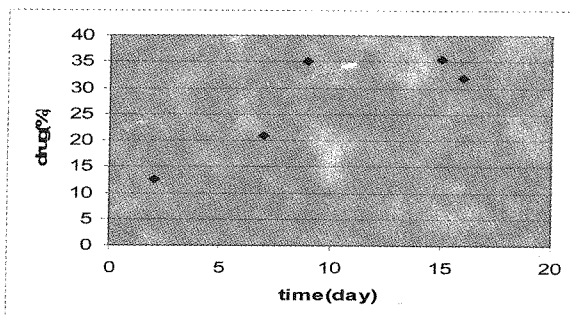
سبب اتحال سیمان برashیتی می‌شود؛ به این معنی که در صورت ثابت نگاه نداشتن غلظت و شرایط محیط غوطه‌وری و استاتیک بودن محیط، سیمان دیگر حل نمی‌شود که این امر را سایر محققان نیز تایید کرده‌اند [۱۶].

وجود محلول‌های بافر حاوی یون‌های ارتوسفات (۴)

سبب تبدیل برashیت به مونتیت حتی در دمای اتاق و pH های متوسط می‌شود. در حالی که عموماً تصور بر این است که تبدیل برashیت به مونتیت تنها در دمای بالای  $60^{\circ}\text{C}$  و pH بسیار کم در حضور اسید اضافی صورت می‌گیرد [۱۷].

### ۶-۳-۲-۶ رهایش دارو

میزان داروی رها شده در محلول رینگر پس از قرارگیری نمونه‌های استوانه‌ای در ۲۵ ml محلول رینگر در زمان‌های ۲، ۹، ۷، ۱۵ و ۱۶ روز اندازه گیری شد. نتایج در شکل (۱۱) آورده شده است.

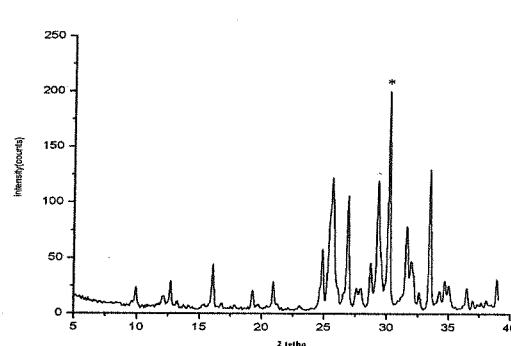


شکل (۱۱): اندازه گیری میزان داروی رها شده در محلول رینگر در زمان‌های مختلف

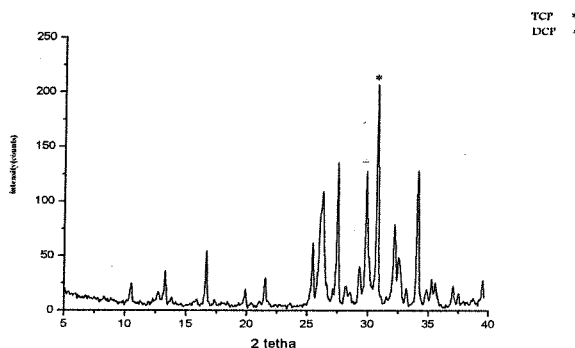
همان طور که در شکل مشاهده می‌شود، مقدار داروی رهایشده به تدریج افزایش یافته و در روز پانزدهم به مقدار بیشینه خود رسیده و ۳۵ درصد از کل داروی مصرفی وارد محلول شده است. پس از طی این مدت، روند رهایش دارو کاهش تدریجی است.

### ۷-۳-۲-۷ مشاهده ریزساختار

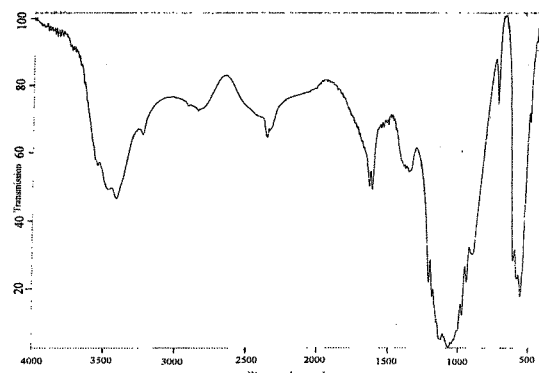
پس از اندازه گیری استحکام، ریزساختار نمونه‌های سیمان در سطح شکست در زمان‌های ۱۳، ۱۵ و ۲۰ روز در انکوباتور و نیز ۱۴، ۱۶ و ۲۱ روز قرارگیری در محلول رینگر مطالعه شد. همانطور که در شکل های (۱۲-الف) و (۱۲-ب) مشاهده می‌شود ساختار سیمان حفرات به هم پیوسته دارد و با گذشت زمان ذرات سیمان با اتصال به یکدیگر تشکیل ذرات بزرگتری می‌دهند و از حالت کروی به شکل میله‌ای درمی‌آیند.



شکل (۸): الکوی پراش پرتو ایکس پس از ۹ روز قرارگیری در محلول رینگر



شکل (۹): الکوی پراش پرتو ایکس نمونه ها پس از ۱۶ روز قرارگیری در محلول رینگر



شکل (۱۰): طیف سنجی مادون قرمز پس از ۹ روز قرارگیری در محلول رینگر

بررسی‌های آنالیز فازی بیانگر این است که ترکیب سیمان تشکیل شده حاوی فازهای مونتیت و تری‌کلسیم‌فسفات است. دلایل این امر به طور خلاصه به شرح زیر است:

(۱) استفاده از آسیاب سیارهای پرانرژی با اعمال نیروی

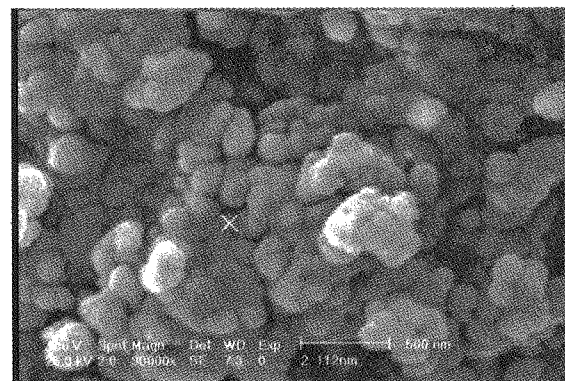
مکانیکی شدید به MCPM، مشوق تغییر فاز آن می‌شود و فاز نهایی، بسته به نسبت Ca/P، مونتیت یا هیدروکسی آپاتیت است.

(۲) اعمال فشار در شکل دهی سیمان سبب خروج آب شده و مانع ایجاد محیط مناسب برای تشکیل

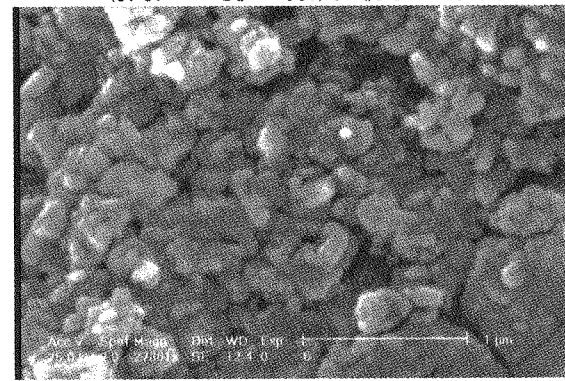
### ۳- نتیجه

سیمان کلسیم‌فسفاتی با موفقیت تهیه شد و خواص مکانیکی و گیرش آن بررسی شد. سپس اثر افزودن داروی جنتامایسین‌سولفات بر روی خواص سیمان مطالعه شد. نتایج بررسی‌ها نشان داد افزودن دارو سبب بهبود خواص گیرش و استحکام فشاری سیمان می‌شود که این پدیده را می‌توان به حضور یون سولفات در دارو نسبت داد. در ادامه، مقدار داروی رهاسده در زمان‌های مختلف اندازه‌گیری شد. نتایج این پژوهش نشان داد که افزودن داروی جنتامایسین‌سولفات به ترکیب سیمان، نه تنها اثر سوء بر خواص سیمان ندارد؛ بلکه به بهبود آن نیز کمک می‌کند.

بررسی‌ها نشان داد که سیمان تشکیل شده در این تحقیق دارای فازهای مونتیت و تری‌کلسیم‌فسفات است.



شکل (۱۲-الف): تصویر ریزساختار نمونه پس از ۱۴ روز قرار گرفتن در رینکر (بزرگنمایی ۳۰۰۰ برابر)



شکل (۱۲-ب): تصویر ریزساختار نمونه پس از ۲۱ روز قرار گرفتن در رینکر (بزرگنمایی ۳۰۰۰ برابر)

### ۴- مراجع

- [۱۰] Haung,Y, et.al; "Study on the applied properties of Tobramycin-loaded calcium phosphate cement" Key Engineering Materials Vols:853-860:2001.
- [۱۱] Bohner, M "Hydraulic calcium phosphate bone cement as antibiotic drug delivery system", [www.limmet.ch/Jmbohner/ABSGS.html](http://www.limmet.ch/Jmbohner/ABSGS.html). 2004
- [۱۲] Nemati,N., Solati-Hashjin, M., Salahi, E., Moztarzadeh, F., and Marghusian, V; "Preparation and properties of an apatitic calcium phosphate cement", cfi/Ber.DGK Vol.82, No.8, pp.E47-E51,2005.
- [۱۳] ASTM Standard C266-99; " Standard test method for time of setting of hydraulic cement paste by Gilmore needle".ASTM International 2002.
- [۱۴] United State Pharmacopoeia 2006
- [۱۵] R.Z.LeGeros; " Calcium phosphates in oral biology and medicine" Basel.S , Karger.A.G:201,1991.
- [۱۶] L.M.Grover , et.al; " Invitro aging of brushite calcium phosphate cement" Biomaterials 24 4133-4141,2003.
- [۱۷] M. Bohner "pH variations of a solution after injecting Brushite cement" Key Engineering Materials , Vols 192-195:813-816 ,2001
- [۱۸] Nilsson,m, et.al; "Factors influencing the compressive strength of an injectable calcium sulfate -hydroxyapatite cement" J.Mat.Sci.Mat.Med,14:339-404:2003.
- [۱۹] Miyamoto,M,et.al; "Basic properties of calcium phosphate cement containing atelocollagen units in liquid or powder phases" Biomaterials,19:707-715:1998.
- [۲۰] Orefeo,R.O.C, et.al; "Growth and differentiation of human bone marrow osteoprogenitors on novel calcium phosphate cements" Biomaterials,19:1845-1854:1998.
- [۲۱] Gauthier,O, et.al; "Non invasive bone replacement with a new injectable calcium phosphate biomaterial" J. Biomed.Mater.Res,66A:47-54:2003
- [۲۲] Dai,H, et.al; "Properties of the cement materials in  $\alpha$ TCP-TTCP-C<sub>6</sub>H<sub>8</sub>O<sub>7</sub>-H<sub>2</sub>O" Key Engineering materialsvols:821-824:2001.
- [۲۳] Ooms,E.M, et.al; "Soft tissue response to injectable calcium phosphate cements" Biomaterials,24:749-757:2003.
- [۲۴] Komath,M Varma, HK; "Development of a fully injectable calcium phosphate cement for orthopedic and dental application" Bull.Mater.Sci, vol,26 No4:415-422 :2003.
- [۲۵] Drissens,F.C.M, et.al; " The ca/p range of nanoapatitic calcium phosphate cements" Biomaterials,23:4011-4017:2002
- [۲۶] Komath,M, et.al; "On the development of an apatitic calcium phosphate bone cement" Bull.Mater.Sci,Vol,23.No2:135-140: 2000

